三層膜構造におけるグリーン関数

大阪大学大学院基礎工学研究科

井上 漱春

目次

1	前提: マクスウェル方程式	2
2	三層膜構造における Dyadic Green 関数 (縦横)	3
2.1	TE モードの Green 関数の導出	4
2.1	1 電場に関する波動方程式	4
2.1	$G_{2i}^{(TE)}$ について $\dots\dots\dots\dots$	7
2.2	TM モードの Green 関数の導出	9
2.2	2.1 磁場に関する波動方程式	9
2.2	$G_{2i}^{(TM)}$ について \dots	12
	三層膜構造における Dyadic Green 関数; まとめ	
3	三層膜構造における Dyadic Green 関数 (縦)	15
3.1	TE モードの Green 関数 (縦) の導出	15
3.2	TM モードの Green 関数 (縦) の導出	17
3.3	三層膜構造における Dyadic Green 関数 (縦); まとめ	20
4	三層膜構造における Dyadic Green 関数 (横)	21

1 前提:マクスウェル方程式

SI単位系のマクスウェル方程式は次式によって与えられる。

$$\nabla \times \boldsymbol{E}(\boldsymbol{r}, t) = -\frac{\partial}{\partial t} \boldsymbol{B}(\boldsymbol{r}, t)$$
 (1.1)

$$\nabla \times \boldsymbol{H}(\boldsymbol{r},t) = \frac{\partial}{\partial t} \boldsymbol{D}(\boldsymbol{r},t) \tag{1.2}$$

$$\nabla \cdot \boldsymbol{D}(\boldsymbol{r}, t) = 0 \tag{1.3}$$

$$\nabla \cdot \boldsymbol{B}(\boldsymbol{r}, t) = 0 \tag{1.4}$$

E,H は電場 (単位 v/m) 及び磁場 (単位 A/m)、D,B は電東密度 (単位 C/m²) 及び磁場 (単位 Wb/m²) である。

物質の分極を考慮すると、電束密度の定義として

$$D(r,t) = \varepsilon_0 E(r,t) + P(r,t)$$
(1.5)

$$\boldsymbol{B}(\boldsymbol{r},t) = \mu_0 \boldsymbol{H}(\boldsymbol{r},t) \tag{1.6}$$

が成り立つ。この方程式は、真空中に存在する分極の空間分布 P(r,t) が作る電磁場を記述する。

三層膜構造における Dyadic Green 関数 (縦横)

ここでは、図1のような3層構造を持つ誘電媒質について議論する。

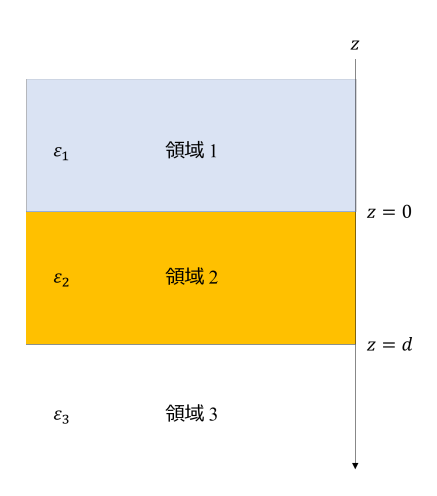


図 1: 3 層構造を持つ誘電媒質

領域 i での背景感受率を χ_i とすると、領域 i での比誘電率 ε_i 、光の波数 q_i 及び 面直波 数 k_i は次のように表される。

$$\varepsilon_i = 1 + \chi_i \tag{2.1}$$

$$q_i = \frac{\omega}{c} \sqrt{\varepsilon_i} = \frac{\omega}{c} n_i \tag{2.2}$$

$$q_{i} = \frac{\omega}{c} \sqrt{\varepsilon_{i}} = \frac{\omega}{c} n_{i}$$

$$k_{i} = \sqrt{q_{i}^{2} - k_{\parallel}^{2}}$$

$$(2.2)$$

2.1 TE モードの Green 関数の導出

2.1.1 電場に関する波動方程式

まず、電場に関する波動方程式を立ててみよう。(1.1)より、

$$\nabla \times \nabla \times \boldsymbol{E}(\boldsymbol{r},t) = -\frac{\partial}{\partial t} \nabla \times \boldsymbol{B}(\boldsymbol{r},t)$$

$$\nabla \times \nabla \times \boldsymbol{E}(\boldsymbol{r},t) = -\mu_0 \frac{\partial}{\partial t} \nabla \times \boldsymbol{H}(\boldsymbol{r},t)$$

$$\nabla \times \nabla \times \boldsymbol{E}(\boldsymbol{r},t) = -\mu_0 \frac{\partial^2}{\partial t^2} \left[\varepsilon_0 \boldsymbol{E}(\boldsymbol{r},t) + \boldsymbol{P}(\boldsymbol{r},t) \right]$$
(2.4)

ここで、誘起分極 P(r) を共鳴分極と非共鳴な分極に分けて考え、非共鳴分極は局所的かつ等方的な背景感受率を用いて表すことにする。3 層構造の場合、領域 i(=1,2,3) に埋め込まれた背景感受率 χ_i を用いて

$$P(\rho, z, \omega) = P_{\text{res}}(\rho, z, \omega) + P_{\text{nonres}}(\rho, z)$$
(2.5)

$$P_{\text{nonres}}(\boldsymbol{\rho}, z) = \varepsilon_0 \chi_i \boldsymbol{E}_i(\boldsymbol{\rho}, z) \tag{2.6}$$

とすると、(1.3) は次のように表される。

$$\nabla \cdot \mathbf{E}_{i}(\boldsymbol{\rho}, z, t) = -\frac{\nabla \cdot \mathbf{P}_{res}(\boldsymbol{\rho}, z, \omega)}{\varepsilon_{0} \varepsilon_{i}}$$
(2.7)

この取り扱いにより、真空中のマクスウェル方程式は物質中のマクスウェル方程式へと移行する。さらに、(2.5),(2.6) を (2.4) に代入し整理すると、領域 i における電場 E_i は

$$\left[(\nabla \times \nabla \times) + \frac{1}{c^2} (1 + \chi_i) \frac{\partial^2}{\partial t^2} \right] \mathbf{E}_i(\boldsymbol{\rho}, z, t) = -\mu_0 \frac{\partial^2}{\partial t^2} \mathbf{P}_{res}(\boldsymbol{\rho}, z, t)$$
(2.8)

となり、時間に関してフーリエ変換すると、次のように表される。

$$\left[(\nabla \times \nabla \times) - \frac{\omega^2}{c^2} (1 + \chi_i) \right] \mathbf{E}_i(\boldsymbol{\rho}, z, \omega) = \mu_0 \omega^2 \mathbf{P}_{res}(\boldsymbol{\rho}, z, \omega)$$
 (2.9)

ここで χ_i は z に依存する関数であることに注意する。また、

$$\nabla \times \nabla \times = \begin{pmatrix} -\frac{\partial^{2}}{\partial y^{2}} - \frac{\partial^{2}}{\partial z^{2}} & \frac{\partial}{\partial x} \frac{\partial}{\partial y} & \frac{\partial}{\partial x} \frac{\partial}{\partial z} \\ \frac{\partial}{\partial y} \frac{\partial}{\partial x} & -\frac{\partial^{2}}{\partial z^{2}} - \frac{\partial^{2}}{\partial x^{2}} & \frac{\partial}{\partial y} \frac{\partial}{\partial z} \\ \frac{\partial}{\partial z} \frac{\partial}{\partial x} & \frac{\partial}{\partial z} \frac{\partial}{\partial y} & -\frac{\partial^{2}}{\partial x^{2}} - \frac{\partial^{2}}{\partial y^{2}} \end{pmatrix}$$

$$= \begin{pmatrix} \frac{\partial^{2}}{\partial x^{2}} - \frac{\partial^{2}}{\partial x^{2}} - \frac{\partial^{2}}{\partial y^{2}} - \frac{\partial^{2}}{\partial z^{2}} & \frac{\partial}{\partial x} \frac{\partial}{\partial y} \\ \frac{\partial}{\partial y} \frac{\partial}{\partial x} & \frac{\partial^{2}}{\partial y^{2}} - \frac{\partial^{2}}{\partial y^{2}} - \frac{\partial^{2}}{\partial z^{2}} - \frac{\partial^{2}}{\partial x^{2}} & \frac{\partial}{\partial y} \frac{\partial}{\partial z} \\ \frac{\partial}{\partial z} \frac{\partial}{\partial x} & \frac{\partial}{\partial z} \frac{\partial}{\partial y} & \frac{\partial^{2}}{\partial z^{2}} - \frac$$

であるから、

$$\left[\nabla\nabla\nabla - \left(\nabla^{2} + \frac{\omega^{2}}{c^{2}}(1+\chi_{i})\right)\bar{\mathcal{I}}_{3}\right]\boldsymbol{E}_{i}(\boldsymbol{\rho},z,\omega) = \mu_{0}\omega^{2}\boldsymbol{P}_{res}(\boldsymbol{\rho},z,\omega)$$

$$\left[\nabla^{2} + \frac{\omega^{2}}{c^{2}}(1+\chi_{i})\right]\boldsymbol{E}_{i}(\boldsymbol{\rho},z,\omega) = -\mu_{0}\omega^{2}\boldsymbol{P}_{res}(\boldsymbol{\rho},z,\omega) - \boldsymbol{\nabla}\left(\frac{\boldsymbol{\nabla}\cdot\boldsymbol{P}_{res}(\boldsymbol{\rho},z,\omega)}{\varepsilon_{0}\varepsilon_{i}}\right)$$

$$\left[\nabla^{2} + \frac{\omega^{2}}{c^{2}}(1+\chi_{i})\right]\boldsymbol{E}_{i}(\boldsymbol{\rho},z,\omega) = -\mu_{0}\omega^{2}\left[\bar{\mathcal{I}}_{3} + \frac{1}{q_{i}^{2}}\boldsymbol{\nabla}\boldsymbol{\nabla}\right]\boldsymbol{P}_{res}(\boldsymbol{\rho},z,\omega)$$
(2.11)

となり、E, P を面内座標に関してフーリエ変換すると、

$$\frac{1}{(2\pi)^{2}} \int d\mathbf{k}_{\parallel} \left[\nabla^{2} + \frac{\omega^{2}}{c^{2}} (1 + \chi_{i}) \right] \mathbf{E}_{i}(\mathbf{k}_{\parallel}, z, \omega) e^{i\mathbf{k}_{\parallel} \cdot \mathbf{\rho}} = -\frac{\mu_{0}\omega^{2}}{(2\pi)^{2}} \int d\mathbf{k}_{\parallel} \left[\bar{\mathcal{I}}_{3} + \frac{1}{q_{i}^{2}} \nabla \nabla \right] \mathbf{P}_{\text{res}}(\mathbf{k}_{\parallel}, z, \omega) e^{i\mathbf{k}_{\parallel} \cdot \mathbf{\rho}} \\
\left[\frac{\partial^{2}}{\partial z^{2}} + k_{i}^{2} \right] \mathbf{E}_{i}(\mathbf{k}_{\parallel}, z, \omega) = -\mu_{0}\omega^{2} \left[\bar{\mathcal{I}}_{3} + \frac{1}{q_{i}^{2}} \nabla_{\mathbf{k}_{\parallel}} \nabla_{\mathbf{k}_{\parallel}} \right] \mathbf{P}_{\text{res}}(\mathbf{k}_{\parallel}, z, \omega) \tag{2.12}$$

となる。

$$\nabla_{\mathbf{k}_{\parallel}} \nabla_{\mathbf{k}_{\parallel}} = \begin{pmatrix} -k_{\parallel}^2 & 0 & ik_{\parallel} \frac{\partial}{\partial z} \\ 0 & 0 & 0 \\ ik_{\parallel} \frac{\partial}{\partial z} & 0 & \frac{\partial^2}{\partial z^2} \end{pmatrix}$$
(2.13)

と書かれ、面内方向の対称性から、 $k_x=k_\parallel, k_y=0$ としている点に注意してもらいたい。

(2.12) を電場の y 成分 (TE モード) に関してのみ考えると

$$\boldsymbol{E}_{i}^{(TE)}(\boldsymbol{k}_{\parallel},z,\omega) = \begin{pmatrix} 0 \\ E_{b,i}^{(TE)}(\boldsymbol{k}_{\parallel},z,\omega) + \mu_{0}\omega^{2} \int dz' G(\boldsymbol{k}_{\parallel},z,z',\omega) P_{y,\text{res}}(\boldsymbol{k}_{\parallel},z',\omega) \\ 0 \end{pmatrix}$$
(2.14)

となる。この斉次解 $E_{b,i}^{(TE)}$ は、以下の式を満たす電場を表し、

$$\left[\frac{\partial^2}{\partial z^2} + k_i^2\right] E_{b,i}^{(TE)}(\mathbf{k}_{\parallel}, z, \omega) = 0 \tag{2.15}$$

この Green 関数 $G(\mathbf{k}_{\parallel},z,z',\omega)$ は以下の式を満たすものとして定義される。

$$\left[\frac{\partial^2}{\partial z^2} + k_i^2\right] G(\mathbf{k}_{\parallel}, z, z', \omega) = -\delta(z - z')$$
(2.16)

一旦境界条件を考えずに、直接誘起する場を求めることにする。(2.16) を z に関してフーリエ変換

$$G(\mathbf{k}_{\parallel}, z, z', \omega) = \frac{1}{\sqrt{2\pi}} \int d\tilde{k} G(\mathbf{k}_{\parallel}, \tilde{k}, z', \omega) e^{i\tilde{k}z}$$
(2.17)

を行うことで

$$\left[\frac{\partial^{2}}{\partial z^{2}} + k_{i}^{2}\right] \frac{1}{\sqrt{2\pi}} \int d\tilde{k} G(\mathbf{k}_{\parallel}, \tilde{k}, z', \omega) e^{i\tilde{k}z} = \frac{-1}{2\pi} \int d\tilde{k} e^{i\tilde{k}(z-z')} \\
\left[-\tilde{k}^{2} + k_{i}^{2}\right] G(\mathbf{k}_{\parallel}, \tilde{k}, z', \omega) = \frac{-1}{\sqrt{2\pi}} e^{-i\tilde{k}z'} \tag{2.18}$$

が得られる。逆変換によって、

$$G(\mathbf{k}_{\parallel}, z, z', \omega) = \frac{-1}{2\pi} \int d\tilde{k} \frac{e^{i\tilde{k}(z-z')}}{-\tilde{k}^2 + k_i^2}$$

$$= \frac{-1}{4\pi k_i} \int d\tilde{k} e^{i\tilde{k}(z-z')} \left[\frac{1}{k_i + \tilde{k}} + \frac{1}{k_i - \tilde{k}} \right]$$
(2.19)

ここで物理的な要請を与える。 ${\rm Im}\,[k_i]>0$ とし、 ${\rm Green}\,$ 関数が無限遠で収束するようにすると、z-z'>0 の時、 $\tilde k=k_i$ が極となり、z-z'<0 の時、 $\tilde k=-k_i$ が極となる。これらの極は $\tilde k$ のガウス平面上の、第一象限、第三象限に位置することから、z-z'>0 の時、

$$G(\mathbf{k}_{\parallel}, z, z', \omega) = \frac{-1}{4\pi k_i} 2\pi i Res \left[k_i, e^{i\tilde{k}(z-z')} \left(\frac{1}{k_i + \tilde{k}} + \frac{1}{k_i - \tilde{k}} \right) \right]$$

$$= \frac{i}{2k_i} e^{ik_i(z-z')}$$
(2.20)

z-z'<0の時、

$$G(\mathbf{k}_{\parallel}, z, z', \omega) = \frac{-1}{4\pi k_{i}} (-2\pi i) \operatorname{Res} \left[-k_{i}, e^{i\tilde{k}(z-z')} \left(\frac{1}{k_{i} + \tilde{k}} + \frac{1}{k_{i} - \tilde{k}} \right) \right]$$

$$= \frac{i}{2k_{i}} e^{-ik_{i}(z-z')}$$
(2.21)

となる。従って、(2.16) を満たす Green 関数は

$$G(\mathbf{k}_{\parallel}, z, z', \omega) = \frac{i}{2k_i} e^{ik_i|z-z'|}$$
(2.22)

であり、対応するマクスウェル方程式 (2.14) は以下のようになる。

$$\boldsymbol{E}_{i}^{(TE)}(\boldsymbol{k}_{\parallel}, z, \omega) = \begin{pmatrix} 0 \\ E_{b,i}^{(TE)}(\boldsymbol{k}_{\parallel}, z, \omega) + \mu_{0}\omega^{2} \int dz' \frac{i}{2k_{i}} e^{ik_{i}|z-z'|} P_{y, \text{res}}(\boldsymbol{k}_{\parallel}, z', \omega) \\ 0 \end{pmatrix}$$
(2.23)

共鳴分極が領域 2 にのみ埋め込まれている場合、界面での反射を考えると、マクスウェルの境界条件から求まる $G_{2i}^{(TE)}({m k}_{\parallel},z,z')$ (後述) を用いて

$$\boldsymbol{E}_{i}^{(TE)}(\boldsymbol{k}_{\parallel},z,\omega) = \begin{pmatrix} 0 \\ E_{b,i}^{(TE)}(\boldsymbol{k}_{\parallel},z,\omega) + \mu_{0}\omega^{2} \int dz' G_{2i}^{(TE)}(\boldsymbol{k}_{\parallel},z,z') P_{y,\text{res}}(\boldsymbol{k}_{\parallel},z',\omega) \\ 0 \end{pmatrix}$$
(2.24)

となる。さらに(2.24)の両辺に $\frac{e^{i k_{\parallel} \cdot \rho}}{(2\pi)^2}$ をかけて2次元波数空間で積分すると、

$$\begin{split} & \boldsymbol{E}_{i}^{(TE)}(\boldsymbol{r},\omega) \\ &= \left(E_{b,i}^{(TE)}(\boldsymbol{r},\omega) + \frac{\mu_{0}\omega^{2}}{(2\pi)^{2}} \int \int d^{2}\boldsymbol{k}_{\parallel} \int dz' G_{2i}^{(TE)}(\boldsymbol{k}_{\parallel},z,z') e^{i\boldsymbol{k}_{\parallel}\cdot\boldsymbol{\rho}} P_{y,\mathrm{res}}(\boldsymbol{k}_{\parallel},z',\omega)\right) \\ &= \left(E_{b,i}^{(TE)}(\boldsymbol{r},\omega)\right) + \left(\frac{\mu_{0}\omega^{2}}{(2\pi)^{2}} \int d\boldsymbol{r}' \int \int d^{2}\boldsymbol{k}_{\parallel} G_{2i}^{(TE)}(\boldsymbol{k}_{\parallel},z,z') e^{i\boldsymbol{k}_{\parallel}\cdot(\boldsymbol{\rho}-\boldsymbol{\rho}')} P_{y,\mathrm{res}}(\boldsymbol{\rho}',z',\omega)\right) \\ &= \boldsymbol{E}_{b,i}^{(TE)}(\boldsymbol{r},\omega) + \frac{\mu_{0}\omega^{2}}{q_{i}^{2}} \int d\boldsymbol{r}' \left[\int \int d^{2}\boldsymbol{k}_{\parallel} \frac{e^{i\boldsymbol{k}_{\parallel}\cdot(\boldsymbol{\rho}-\boldsymbol{\rho}')}}{(2\pi)^{2}} \begin{pmatrix} 0 & 0 & 0 \\ 0 & q_{i}^{2} & 0 \\ 0 & 0 & 0 \end{pmatrix} G_{2i}^{(TE)}(\boldsymbol{k}_{\parallel},z,z')\right] \boldsymbol{P}_{\mathrm{res}}(\boldsymbol{\rho}',z',\omega) \\ &= \boldsymbol{E}_{b,i}^{(TE)}(\boldsymbol{r},\omega) + \frac{1}{\varepsilon_{0}\varepsilon_{i}} \int d\boldsymbol{r}' \bar{\mathcal{G}}_{2i}^{(TE)}(\boldsymbol{r},\boldsymbol{r}',\omega) \boldsymbol{P}_{\mathrm{res}}(\boldsymbol{r}',\omega) \end{split} \tag{2.25}$$

となり、TE モードに対する薄膜の Green 関数の表式

$$\bar{\mathcal{G}}_{2i}^{(TE)}(\boldsymbol{r}, \boldsymbol{r}', \omega) = \iint d^2 \boldsymbol{k}_{\parallel} \frac{e^{i\boldsymbol{k}_{\parallel} \cdot (\boldsymbol{\rho} - \boldsymbol{\rho}')}}{(2\pi)^2} \begin{pmatrix} 0 & 0 & 0 \\ 0 & q_i^2 & 0 \\ 0 & 0 & 0 \end{pmatrix} G_{2i}^{(TE)}(\boldsymbol{k}_{\parallel}, z, z')$$
(2.26)

を得る。

2.1.2 $G_{2i}^{(TE)}$ について

まず一番に注意すべき点は、この Green 関数は y 方向の電場 E_y (TE 電場) に対して定義されている点である。従って、この後登場する各種反射係数や透過係数は TE 電場に対して定義されたものを用いる必要がある点に注意する。領域 i から領域 j へ進む TE 電場に対して定義されたフレネルの反射及び透過係数 $t_{ij}^{(TE)}, r_{ij}^{(TE)}$ は

$$t_{ij}^{(TE)} = \frac{2k_i}{k_i + k_i} \tag{2.27}$$

$$r_{ij}^{(TE)} = \frac{k_i - k_j}{k_i + k_j} \tag{2.28}$$

であるから、これを用いる。

領域 2 にある源が領域 2 に誘起する場を求める Green 関数 $G_{22}^{(TE)}$ を求める。 $z=z_1$ 面での反射波の振幅 B、 $z=z_2$ 面での反射波の振幅を C とすると、マクスウェルの境界条件から (2.23) 中の $e^{ik_2|z-z'|}$ は次のように書き直される。

$$e^{ik_2|z-z'|} + Be^{ik_2(z-z_1)} + Ce^{-ik_2(z-z_2)}$$
(2.29)

 $z=z_1,z=z_2$ 面での反射係数を $r_{21}^{(TE)},r_{23}^{(TE)}$ とすると、振幅 B は下向きの波が界面で反射されたもの、振幅 C は上向きの波が界面で反射されたもの等しいため、

$$B = r_{21}^{(TE)} \left(e^{-ik_2(z_1 - z')} + Ce^{-ik_2(z_1 - z_2)} \right)$$
 (2.30)

$$C = r_{23}^{(TE)} \left(e^{ik_2(z_2 - z')} + Be^{ik_2(z_2 - z_1)} \right)$$
(2.31)

両辺を連立して解くことで、

$$B = \frac{r_{21}^{(TE)}e^{-ik_2(z_1-z')} + r_{23}^{(TE)}r_{21}^{(TE)}e^{-ik_2(z_1-z_2)}e^{ik_2(z_2-z')}}{1 - r_{23}^{(TE)}r_{21}^{(TE)}e^{2ik_2(z_2-z_1)}}$$

$$C = \frac{r_{23}^{(TE)}e^{ik_2(z_2-z')} + r_{23}^{(TE)}r_{21}^{(TE)}e^{ik_2(z_2-z_1)}e^{-ik_2(z_1-z')}}{1 - r_{23}^{(TE)}r_{21}^{(TE)}e^{2ik_2(z_2-z_1)}}$$

を得る。 $d_2=z_2-z_1$ として、多重反射の効果を関数 $M_2^{(TE)}$ を用いて、

$$M_2^{(TE)} = \left[1 - r_{23}^{(TE)} r_{21}^{(TE)} e^{2ik_2(z_2 - z_1)}\right]^{-1}$$
$$= \left[1 - r_{23}^{(TE)} r_{21}^{(TE)} e^{2ik_2d_2}\right]^{-1}$$

とし、(2.29) に代入すると、

$$e^{ik_{2}|z-z'|} + r_{21}^{(TE)} \left\{ e^{-ik_{2}(z_{1}-z')} + r_{23}^{(TE)} e^{ik_{2}d_{2}} e^{ik_{2}(z_{2}-z')} \right\} e^{ik_{2}(z-z_{1})} M_{2}^{(TE)}$$

$$+ r_{23}^{(TE)} \left\{ e^{ik_{2}(z_{2}-z')} + r_{21}^{(TE)} e^{ik_{2}d_{2}} e^{-ik_{2}(z_{1}-z')} \right\} e^{-ik_{2}(z-z_{2})} M_{2}^{(TE)}$$

$$(2.32)$$

となる。

次に領域 2 にある源が領域 1 に誘起する場を求める Green 関数 $G_{12}^{(TE)}$ を求める。領域 2 にある源が誘起した $z=z_1$ で -z 方向に向かう場の振幅 A_2^- は

$$A_2^- = e^{-ik_2 z_1} \left[e^{ik_2 z'} + r_{23}^{(TE)} e^{2ik_2 z_2} e^{-ik_2 z'} \right] M_2$$
 (2.33)

とかける。ここで、領域 2 から領域 1 へ進む TE 電場に対して定義されたフレネルの透過係数 $t_{21}^{(TE)}$ をかけることで、領域 1 に誘起する場

$$t_{21}^{(TE)}e^{-ik_2z_1}\left[e^{ik_2z'}+r_{23}^{(TE)}e^{2ik_2z_2}e^{-ik_2z'}\right]M_2^{(TE)}e^{-ik_1(z-z_1)}$$
(2.34)

が得られる。同様にして、領域3に誘起する場は

$$t_{23}^{(TE)}e^{ik_2z_2} \left[r_{21}^{(TE)}e^{-2ik_2z_1}e^{ik_2z'} + e^{-ik_2z'} \right] M_2^{(TE)}e^{ik_3(z-z_2)}$$
 (2.35)

となる。

2.2 TM モードの Green 関数の導出

2.2.1 磁場に関する波動方程式

次に、磁場に関する波動方程式を立てよう。(1.2) より、

$$\nabla \times \nabla \times \boldsymbol{H}(\boldsymbol{r},t) = \frac{\partial}{\partial t} \nabla \times \boldsymbol{D}(\boldsymbol{r},t)$$

$$\nabla \times \nabla \times \boldsymbol{H}(\boldsymbol{r},t) = \frac{\partial}{\partial t} \nabla \times \left\{ \varepsilon_0 \boldsymbol{E}(\boldsymbol{r},t) + \boldsymbol{P}(\boldsymbol{r},t) \right\}$$

$$\nabla \times \nabla \times \boldsymbol{H}_i(\boldsymbol{r},t) = \frac{\partial}{\partial t} \nabla \times \left\{ \varepsilon_0 \left(1 + \chi_i \right) \boldsymbol{E}(\boldsymbol{r},t) + \boldsymbol{P}_{res}(\boldsymbol{r},t) \right\}$$

$$\nabla \times \nabla \times \boldsymbol{H}_i(\boldsymbol{r},t) = \frac{\partial}{\partial t} \left\{ -\mu_0 \varepsilon_0 \left(1 + \chi_i \right) \frac{\partial}{\partial t} \boldsymbol{H}(\boldsymbol{r},t) + \nabla \times \boldsymbol{P}_{res}(\boldsymbol{r},t) \right\}$$

$$\left[(\nabla \times \nabla \times) + \frac{1}{c^2} \left(1 + \chi_i \right) \frac{\partial^2}{\partial t^2} \right] \boldsymbol{H}_i(\boldsymbol{r},t) = \frac{\partial}{\partial t} \nabla \times \boldsymbol{P}_{res}(\boldsymbol{r},t)$$

$$(2.36)$$

時間に関してフーリエ変換し、整理すると

$$\left[(\nabla \times \nabla \times) - \frac{\omega^2}{c^2} (1 + \chi_i) \right] \mathbf{H}_i(\mathbf{r}, \omega) = -i\omega \nabla \times \mathbf{P}_{res}(\mathbf{r}, \omega)
\left[\nabla \nabla - \nabla^2 - \frac{\omega^2}{c^2} (1 + \chi_i) \right] \mathbf{H}_i(\mathbf{r}, \omega) = -i\omega \nabla \times \mathbf{P}_{res}(\mathbf{r}, \omega)
\left[\nabla^2 + \frac{\omega^2}{c^2} (1 + \chi_i) \right] \mathbf{H}_i(\mathbf{r}, \omega) = i\omega \nabla \times \mathbf{P}_{res}(\mathbf{r}, \omega)$$
(2.37)

となる。H, P を面内座標に関するフーリエ変換を行うと、

$$\frac{1}{(2\pi)^{2}} \int d\mathbf{k}_{\parallel} \left[\nabla^{2} + \frac{\omega^{2}}{c^{2}} (1 + \chi_{i}) \right] \mathbf{H}(\mathbf{k}_{\parallel}, z, \omega) e^{i\mathbf{k}_{\parallel} \cdot \boldsymbol{\rho}} = \frac{i\omega}{(2\pi)^{2}} \int d\mathbf{k}_{\parallel} \nabla \times \mathbf{P}_{res}(\mathbf{k}_{\parallel}, z, \omega) e^{i\mathbf{k}_{\parallel} \cdot \boldsymbol{\rho}} \\
\left[\frac{\partial^{2}}{\partial z^{2}} + k_{i}(z)^{2} \right] \mathbf{H}(\mathbf{k}_{\parallel}, z, \omega) = i\omega \nabla_{\mathbf{k}_{\parallel}} \times \mathbf{P}_{res}(\mathbf{k}_{\parallel}, z, \omega) \tag{2.38}$$

ただし、
$$\nabla_{m{k}_{\parallel}}=egin{pmatrix}ik_{\parallel}\\0\\\frac{\partial}{\partial z}\end{pmatrix}$$
 である。 (2.38) を磁場の y 成分 $(\mathbf{TM}\;\mathbf{t-F})$ のみ考えると

$$\boldsymbol{H}_{i}^{(TM)}(\boldsymbol{k}_{\parallel}, z, \omega) = \begin{pmatrix} 0 \\ H_{b,i}^{(TM)}(\boldsymbol{k}_{\parallel}, z, \omega) - i\omega \int dz' G(\boldsymbol{k}_{\parallel}, z, z', \omega) \left\{ \nabla'_{\boldsymbol{k}_{\parallel}} \times \boldsymbol{P}_{res}(\boldsymbol{k}_{\parallel}, z', \omega) \right\}_{y} \\ 0 \end{pmatrix}$$
(2.39)

この斉次解 $H_{b,i}^{(TM)}$ は、以下の式を満たす磁場を表し、

$$\left[\frac{\partial^2}{\partial z^2} + k_i(z)^2\right] H_b^{(TM)}(\mathbf{k}_{\parallel}, z, \omega) = 0$$
 (2.40)

この Green 関数 $G(\mathbf{k}_{\parallel},z,z',\omega)$ は以下の式を満たすものとして定義されている。

$$\left[\frac{\partial^2}{\partial z^2} + k_i^2\right] G(\mathbf{k}_{\parallel}, z, z', \omega) = -\delta(z - z')$$
(2.41)

従って、電場の場合と同様に考えて、

$$\boldsymbol{H}_{i}^{(TM)}(\boldsymbol{k}_{\parallel}, z, \omega) = \begin{pmatrix} 0 \\ H_{b,i}^{(TM)}(\boldsymbol{k}_{\parallel}, z, \omega) - i\omega \int dz' \frac{i}{2k_{i}} e^{ik_{i}|z-z'|} \left\{ \nabla'_{\boldsymbol{k}_{\parallel}} \times \boldsymbol{P}_{res}(\boldsymbol{k}_{\parallel}, z', \omega) \right\}_{y} \end{pmatrix}$$

$$(2.42)$$

界面の効果を考えると、境界条件から求まる $G_{2i}^{(TM)}(m{k}_{\parallel},z,z')$ (後述) を用いて

$$\boldsymbol{H}_{i}^{(TM)}(\boldsymbol{k}_{\parallel}, z, \omega) = \begin{pmatrix} 0 \\ H_{b,i}^{(TM)}(\boldsymbol{k}_{\parallel}, z, \omega) - i\omega \int dz' G_{2i}^{(TM)}(\boldsymbol{k}_{\parallel}, z, z') \left\{ \nabla'_{\boldsymbol{k}_{\parallel}} \times \boldsymbol{P}_{res}(\boldsymbol{k}_{\parallel}, z', \omega) \right\}_{y} \\ 0 \end{pmatrix}$$

$$(2.43)$$

と書ける。さらに、(2.43) の両辺に $\frac{e^{i \mathbf{k}_{\parallel} \cdot \mathbf{\rho}}}{(2\pi)^2}$ をかけて 2 次元波数空間で積分すると、

$$\begin{split} &\boldsymbol{H}_{i}^{(TM)}(\boldsymbol{r},\omega) \\ &= \begin{pmatrix} H_{b,i}^{(TM)}(\boldsymbol{\rho},z,\omega) + \frac{-i\omega}{(2\pi)^{2}} \iint d^{2}\boldsymbol{k}_{\parallel} \int dz' G_{2i}^{(TM)}(\boldsymbol{k}_{\parallel},z,z') e^{i\boldsymbol{k}_{\parallel}\cdot\boldsymbol{\rho}} \left\{ \nabla'_{\boldsymbol{k}_{\parallel}} \times \boldsymbol{P}_{\mathrm{res}}(\boldsymbol{k}_{\parallel},z',\omega) \right\}_{y} \\ &= \begin{pmatrix} H_{b,i}^{(TM)}(\boldsymbol{\rho},z,\omega) + \frac{-i\omega}{(2\pi)^{2}} \int d\boldsymbol{r}' \iint d^{2}\boldsymbol{k}_{\parallel} G_{2i}^{(TM)}(\boldsymbol{k}_{\parallel},z,z') e^{i\boldsymbol{k}_{\parallel}\cdot(\boldsymbol{\rho}-\boldsymbol{\rho}')} \left\{ \nabla'_{\boldsymbol{k}_{\parallel}} \times \boldsymbol{P}_{\mathrm{res}}(\boldsymbol{\rho}',z',\omega) \right\}_{y} \\ &= \begin{pmatrix} 0 \\ H_{b,i}^{(TM)}(\boldsymbol{\rho},z,\omega) \end{pmatrix} + \begin{pmatrix} 0 \\ \frac{-i\omega}{(2\pi)^{2}} \int d\boldsymbol{r}' \iint d^{2}\boldsymbol{k}_{\parallel} G_{2i}^{(TM)}(\boldsymbol{k}_{\parallel},z,z') e^{i\boldsymbol{k}_{\parallel}\cdot(\boldsymbol{\rho}-\boldsymbol{\rho}')} \begin{pmatrix} \frac{\partial}{\partial z'} \\ 0 \\ -i\boldsymbol{k}_{\parallel} \end{pmatrix} \cdot \boldsymbol{P}_{\mathrm{res}}(\boldsymbol{\rho}',z',\omega) \\ 0 \end{pmatrix} \\ &= \boldsymbol{H}_{b,i}^{(TM)}(\boldsymbol{r},\omega) + \begin{pmatrix} \frac{-i\omega}{(2\pi)^{2}} \int d\boldsymbol{r}' \iint d^{2}\boldsymbol{k}_{\parallel} \begin{pmatrix} -\frac{\partial}{\partial z'} \\ 0 \\ -i\boldsymbol{k}_{\parallel} \end{pmatrix} G_{2i}^{(TM)}(\boldsymbol{k}_{\parallel},z,z') e^{i\boldsymbol{k}_{\parallel}\cdot(\boldsymbol{\rho}-\boldsymbol{\rho}')} \cdot \boldsymbol{P}_{\mathrm{res}}(\boldsymbol{\rho}',z',\omega) \\ 0 \end{pmatrix} \\ &= 0 \\ 0 \end{pmatrix} \end{split}$$

ここで、

$$\nabla \times \boldsymbol{H}_{i}^{(TM)}(\boldsymbol{r},\omega) = -i\omega \left\{ \varepsilon_{0} \varepsilon_{i} \boldsymbol{E}_{i}^{(TM)}(\boldsymbol{r},\omega) + \boldsymbol{P}_{res}(\boldsymbol{r},\omega) \right\}$$
(2.45)

$$\nabla \times \boldsymbol{H}_{b,i}^{(TM)}(\boldsymbol{r},\omega) = -i\omega \left\{ \varepsilon_0 \varepsilon_i \boldsymbol{E}_{b,i}^{(TM)}(\boldsymbol{r},\omega) \right\}$$
 (2.46)

であるから、(2.44)の両辺の回転を取ると、

$$\begin{split} & \boldsymbol{E}_{i}^{(TM)}(\boldsymbol{r},\omega) - \boldsymbol{E}_{b,i}^{(TM)}(\boldsymbol{r},\omega) \\ & = \frac{1}{\varepsilon_{0}\varepsilon_{i}} \int d\boldsymbol{r}' \left[\iint d^{2}\boldsymbol{k}_{\parallel} \frac{e^{i\boldsymbol{k}_{\parallel}\cdot\left(\boldsymbol{\rho}-\boldsymbol{\rho}'\right)}}{(2\pi)^{2}} \begin{pmatrix} -\frac{\partial}{\partial z} \\ 0 \\ i\boldsymbol{k}_{\parallel} \end{pmatrix} \begin{pmatrix} -\frac{\partial}{\partial z'} \\ 0 \\ -i\boldsymbol{k}_{\parallel} \end{pmatrix} G_{2i}^{(TM)}(\boldsymbol{k}_{\parallel},z,z') - \delta(\boldsymbol{r}-\boldsymbol{r}') \begin{pmatrix} 1 & 0 & 0 \\ 0 & 0 & 0 \\ 0 & 0 & 1 \end{pmatrix} \right] \boldsymbol{P}_{\text{res}}(\boldsymbol{r}',\omega) \\ & = \frac{1}{\varepsilon_{0}\varepsilon_{i}} \int d\boldsymbol{r}' \left[\iint d^{2}\boldsymbol{k}_{\parallel} \frac{e^{i\boldsymbol{k}_{\parallel}\cdot\left(\boldsymbol{\rho}-\boldsymbol{\rho}'\right)}}{(2\pi)^{2}} \left\{ \begin{pmatrix} \frac{\partial^{2}}{\partial z\partial z'} & 0 & i\boldsymbol{k}_{\parallel} \frac{\partial}{\partial z} \\ 0 & 0 & 0 \\ -i\boldsymbol{k}_{\parallel} \frac{\partial}{\partial z'} & 0 & \boldsymbol{k}_{\parallel}^{2} \end{pmatrix} G_{2i}^{(TM)}(\boldsymbol{k}_{\parallel},z,z') - \begin{pmatrix} 1 & 0 & 0 \\ 0 & 0 & 0 \\ 0 & 0 & 1 \end{pmatrix} \delta(z-z') \right\} \right] \boldsymbol{P}_{\text{res}}(\boldsymbol{r}',\omega) \end{split}$$

となる。 $\frac{\partial^2}{\partial z \partial z'} e^{ik_z|z-z'|}$ から来る特異点を取り除くことを考える。

$$\int_{0}^{d} dz' \frac{\partial^{2}}{\partial z \partial z'} \frac{i}{2k_{z}} e^{ik_{z}|z-z'|} \\
= \int_{0}^{z-\varepsilon} dz' \frac{\partial^{2}}{\partial z \partial z'} \frac{i}{2k_{z}} e^{ik_{z}|z-z'|} + \int_{z-\varepsilon}^{z+\varepsilon} dz' \frac{\partial^{2}}{\partial z \partial z'} \frac{i}{2k_{z}} e^{ik_{z}|z-z'|} + \int_{z+\varepsilon}^{d} dz' \frac{\partial^{2}}{\partial z \partial z'} \frac{i}{2k_{z}} e^{ik_{z}|z-z'|} \\
= \left[\int_{0}^{z-\varepsilon} dz' + \int_{z+\varepsilon}^{d} dz' \right] \frac{\partial^{2}}{\partial z \partial z'} \frac{i}{2k_{z}} e^{ik_{z}|z-z'|} + \int_{z-\varepsilon}^{z+\varepsilon} dz' \frac{\partial^{2}}{\partial z \partial z'} \frac{i}{2k_{z}} e^{ik_{z}|z-z'|} \\
= \left[\int_{0}^{z-\varepsilon} dz' + \int_{z+\varepsilon}^{d} dz' \right] \frac{\partial^{2}}{\partial z \partial z'} \frac{i}{2k_{z}} e^{ik_{z}|z-z'|} + \int_{z-\varepsilon}^{z+\varepsilon} dz' \delta(z-z') \tag{2.48}$$

こうすることで、xx 成分のデルタ関数がキャンセルアウトされて

$$\mathbf{E}_{i}^{(TM)}(\mathbf{r},\omega) - \mathbf{E}_{b,i}^{(TM)}(\mathbf{r},\omega) \\
= \frac{1}{\varepsilon_{0}\varepsilon_{i}} \int d\mathbf{r}' \left[\iint d^{2}\mathbf{k}_{\parallel} \frac{e^{i\mathbf{k}_{\parallel} \cdot (\boldsymbol{\rho} - \boldsymbol{\rho}')}}{(2\pi)^{2}} \left\{ \begin{pmatrix} \frac{\partial^{2}}{\partial z \partial z'} & 0 & ik_{\parallel} \frac{\partial}{\partial z} \\ 0 & 0 & 0 \\ -ik_{\parallel} \frac{\partial}{\partial z'} & 0 & k_{\parallel}^{2} \end{pmatrix} G_{2i}^{(TM)}(\mathbf{k}_{\parallel}, z, z') - \begin{pmatrix} 0 & 0 & 0 \\ 0 & 0 & 0 \\ 0 & 0 & 1 \end{pmatrix} \delta(z - z') \right\} \right] \mathbf{P}_{res}(\mathbf{r}', \omega) \\
= \frac{1}{\varepsilon_{0}\varepsilon_{i}} \int d\mathbf{r}' \bar{\mathcal{G}}_{2i}^{(TM)}(\mathbf{r}, \mathbf{r}', \omega) \mathbf{P}_{res}(\mathbf{r}', \omega) \tag{2.49}$$

を得る。

こうして TM モードに対する薄膜の Green 関数の表式

$$\bar{\mathcal{G}}_{2i}^{(TM)}(\boldsymbol{r},\boldsymbol{r}',\omega) = \iint d^{2}\boldsymbol{k}_{\parallel} \frac{e^{i\boldsymbol{k}_{\parallel}\cdot\left(\boldsymbol{\rho}-\boldsymbol{\rho}'\right)}}{(2\pi)^{2}} \left\{ \begin{pmatrix} \frac{\partial^{2}}{\partial z\partial z'} & 0 & ik_{\parallel}\frac{\partial}{\partial z} \\ 0 & 0 & 0 \\ -ik_{\parallel}\frac{\partial}{\partial z'} & 0 & k_{\parallel}^{2} \end{pmatrix} G_{2i}^{(TM)}(\boldsymbol{k}_{\parallel},z,z') - \begin{pmatrix} 0 & 0 & 0 \\ 0 & 0 & 0 \\ 0 & 0 & 1 \end{pmatrix} \delta(z-z') \right\}$$

$$(2.50)$$

を得る。

$2.2.2 \quad G_{2i}^{(TM)}$ について

まず一番に注意すべき点は、この Green 関数は y 方向の磁場 H_y (TM 磁場) に対して定義されている点である。従って、この後登場する各種反射係数や透過係数は TM 磁場に対して定義されたものを用いる必要がある点に注意する。領域 i から領域 j へ進む TM 磁場に対して定義されたフレネルの反射及び透過係数 $t_{ij}^{(TE)}, r_{ij}^{(TE)}$ は

$$t_{ij}^{(TM)} = \frac{2\varepsilon_j k_i}{\varepsilon_j k_i + \varepsilon_i k_j} \tag{2.51}$$

$$r_{ij}^{(TM)} = \frac{\varepsilon_j k_i - \varepsilon_i k_j}{\varepsilon_j k_i + \varepsilon_i k_j}$$
(2.52)

であるから、これを用いる。

領域 2 にある源が領域 2 に誘起する場を求める Green 関数 $G_{22}^{(TM)}$ を求める。 $z=z_1$ 面での反射波の振幅 B、 $z=z_2$ 面での反射波の振幅を C とすると、マクスウェルの境界条件から (2.42) 中の $e^{ik_2|z-z'|}$ は次のように書き直される。

$$e^{ik_2|z-z'|} + Be^{ik_2(z-z_1)} + Ce^{-ik_2(z-z_2)}$$
(2.53)

 $z=z_1,z=z_2$ 面での反射係数を $r_{21}^{(TM)},r_{23}^{(TM)}$ とすると、振幅 B は下向きの波が界面で反射されたもの、振幅 C は上向きの波が界面で反射されたもの等しいため、

$$B = r_{21}^{(TM)} \left(e^{-ik_2(z_1 - z')} + Ce^{-ik_2(z_1 - z_2)} \right)$$
$$C = r_{23}^{(TM)} \left(e^{ik_2(z_2 - z')} + Be^{ik_2(z_2 - z_1)} \right)$$

両辺を連立して解くことで、

$$B = \frac{r_{21}^{(TM)} e^{-ik_2(z_1 - z')} + r_{23}^{(TM)} r_{21}^{(TM)} e^{-ik_2(z_1 - z_2)} e^{ik_2(z_2 - z')}}{1 - r_{23}^{(TM)} r_{21}^{(TM)} e^{2ik_2(z_2 - z_1)}}$$

$$C = \frac{r_{23}^{(TM)} e^{ik_2(z_2 - z')} + r_{23}^{(TM)} r_{21}^{(TM)} e^{ik_2(z_2 - z_1)} e^{-ik_2(z_1 - z')}}{1 - r_{23}^{(TM)} r_{21}^{(TM)} e^{2ik_2(z_2 - z_1)}}$$

を得る。 $d_2=z_2-z_1$ として、多重反射の効果を関数 $M_2^{(TM)}$ を用いて、

$$M_2^{(TM)} = \left[1 - r_{23}^{(TM)} r_{21}^{(TM)} e^{2ik_2(z_2 - z_1)}\right]^{-1}$$
$$= \left[1 - r_{23}^{(TM)} r_{21}^{(TM)} e^{2ik_2d_2}\right]^{-1}$$

とし (2.53) に代入すると、

$$e^{ik_{2}|z-z'|} + r_{21}^{(TM)} \left\{ e^{-ik_{2}(z_{1}-z')} + r_{23}^{(TM)} e^{ik_{2}d_{2}} e^{ik_{2}(z_{2}-z')} \right\} e^{ik_{2}(z-z_{1})} M_{2}^{(TM)}$$

$$+ r_{23}^{(TM)} \left\{ e^{ik_{2}(z_{2}-z')} + r_{21}^{(TM)} e^{ik_{2}d_{2}} e^{-ik_{2}(z_{1}-z')} \right\} e^{-ik_{2}(z-z_{2})} M_{2}^{(TM)}$$
 (2.54)

となる。

次に領域 2 にある源が領域 1 に誘起する場を求める Green 関数 $G_{12}^{(TM)}$ を求める。領域 2 にある源が誘起した $z=z_1$ で -z 方向に向かう場の振幅 A_2^- は

$$A_2^- = e^{-ik_2z_1} \left[e^{ik_2z'} + r_{23}^{(TM)} e^{2ik_2z_2} e^{-ik_2z'} \right] M_2$$
 (2.55)

とかける。ここで、領域 2 から領域 1 へ進む TM 磁場に対して定義されたフレネルの透過係数 $t_{21}^{(TM)}$ をかけることで、領域 1 に誘起する場

$$t_{21}^{(TM)}e^{-ik_2z_1} \left[e^{ik_2z'} + r_{23}^{(TM)}e^{2ik_2z_2}e^{-ik_2z'} \right] M_2^{(TM)}e^{-ik_1(z-z_1)}$$
 (2.56)

が得られる。同様にして、領域3に誘起する場は

$$t_{23}^{(TM)}e^{ik_2z_2}\left[r_{21}^{(TM)}e^{-2ik_2z_1}e^{ik_2z'} + e^{-ik_2z'}\right]M_2^{(TM)}e^{ik_3(z-z_2)} \tag{2.57}$$

となる。

2.3 三層膜構造における Dyadic Green 関数; まとめ

以上より、3 層構造における、縦横含んだマクスウェル方程式及び、Dyadic Green 関数は次式で与えられる。

$$\boldsymbol{E}_{i}(\boldsymbol{r},\omega) = \boldsymbol{E}_{i}^{(TE)}(\boldsymbol{r},\omega) + \boldsymbol{E}_{i}^{(TM)}(\boldsymbol{r},\omega)$$
(2.58)

$$\boldsymbol{E}_{i}^{(TE)}(\boldsymbol{r},\omega) = \boldsymbol{E}_{b,i}^{(TE)}(\boldsymbol{r},\omega) + \frac{1}{\varepsilon_{0}\varepsilon_{i}} \int d\boldsymbol{r}' \bar{\mathcal{G}}_{2i}^{(TE)}(\boldsymbol{r},\boldsymbol{r}',\omega) \boldsymbol{P}_{res}(\boldsymbol{r}',\omega)$$
(2.59)

$$\boldsymbol{E}_{i}^{(TM)}(\boldsymbol{r},\omega) = \boldsymbol{E}_{b,i}^{(TM)}(\boldsymbol{r},\omega) + \frac{1}{\varepsilon_{0}\varepsilon_{i}} \int d\boldsymbol{r}' \bar{\mathcal{G}}_{2i}^{(TM)}(\boldsymbol{r},\boldsymbol{r}',\omega) \boldsymbol{P}_{res}(\boldsymbol{r}',\omega)$$
(2.60)

$$\bar{\mathcal{G}}_{2i}^{(TE)}(\boldsymbol{r}, \boldsymbol{r}', \omega) = \iint d^2 \boldsymbol{k}_{\parallel} \frac{e^{i\boldsymbol{k}_{\parallel} \cdot \left(\boldsymbol{\rho} - \boldsymbol{\rho}'\right)}}{\left(2\pi\right)^2} \begin{pmatrix} 0 & 0 & 0 \\ 0 & q_i^2 & 0 \\ 0 & 0 & 0 \end{pmatrix} G_{2i}^{(TE)}(\boldsymbol{k}_{\parallel}, z, z')$$
(2.61)

$$\bar{\mathcal{G}}_{2i}^{(TM)}(\boldsymbol{r},\boldsymbol{r}',\omega) = \iint d^{2}\boldsymbol{k}_{\parallel} \frac{e^{i\boldsymbol{k}_{\parallel}\cdot\left(\boldsymbol{\rho}-\boldsymbol{\rho}'\right)}}{(2\pi)^{2}} \left\{ \begin{pmatrix} \frac{\partial^{2}}{\partial z\partial z'} & 0 & ik_{\parallel}\frac{\partial}{\partial z} \\ 0 & 0 & 0 \\ -ik_{\parallel}\frac{\partial}{\partial z'} & 0 & k_{\parallel}^{2} \end{pmatrix} G_{2i}^{(TM)}(\boldsymbol{k}_{\parallel},z,z') - \begin{pmatrix} 0 & 0 & 0 \\ 0 & 0 & 0 \\ 0 & 0 & 1 \end{pmatrix} \delta(z-z') \right\}$$

$$(2.62)$$

$$G_{21}^{(\xi)}(\mathbf{k}_{\parallel}, z, z') = \frac{i}{2k_2} \left[t_{21}^{\xi} e^{-ik_2 z_1} \left[e^{ik_2 z'} + r_{23}^{\xi} e^{2ik_2 z_2} e^{-ik_2 z'} \right] M_2^{\xi} e^{-ik_1 (z - z_1)} \right]$$
(2.63)

$$G_{22}^{(\xi)}(\boldsymbol{k}_{\parallel},z,z') = \frac{i}{2k_{2}} \left[e^{ik_{2}|z-z'|} + r_{21}^{\xi} \left\{ e^{-ik_{2}(z_{1}-z')} + r_{23}^{\xi} e^{ik_{2}d_{2}} e^{ik_{2}(z_{2}-z')} \right\} e^{ik_{2}(z-z_{1})} M_{2}^{\xi} \right] + r_{23}^{\xi} e^{ik_{2}d_{2}} e^{ik_{2}d_{2}} e^{ik_{2}(z_{2}-z')} e^{ik_{2}(z-z_{1})} e^{ik_{2}(z$$

$$+r_{23}^{\xi} \left\{ e^{ik_2(z_2-z')} + r_{21}^{\xi} e^{ik_2d_2} e^{-ik_2(z_1-z')} \right\} e^{-ik_2(z-z_2)} M_2^{\xi}$$
 (2.64)

$$G_{23}^{(\xi)}(\mathbf{k}_{\parallel},z,z') = \frac{i}{2k_2} \left[t_{23}^{\xi} e^{ik_2z_2} \left[r_{21}^{\xi} e^{-2ik_2z_1} e^{ik_2z'} + e^{-ik_2z'} \right] M_2^{\xi} e^{ik_3(z-z_2)} \right]$$
(2.65)

$$t_{ij}^{(TE)} = \frac{2k_i}{k_i + k_j} \tag{2.66}$$

$$t_{ij}^{(TM)} = \frac{2\varepsilon_j k_i}{\varepsilon_j k_i + \varepsilon_i k_j} \tag{2.67}$$

$$r_{ij}^{(TE)} = \frac{k_i - k_j}{k_i + k_i} \tag{2.68}$$

$$r_{ij}^{(TM)} = \frac{\varepsilon_j k_i - \varepsilon_i k_j}{\varepsilon_j k_i + \varepsilon_i k_j} \tag{2.69}$$

$$M_2^{\xi} = \frac{1}{1 - r_{21}^{\xi} r_{23}^{\xi} e^{2ik_2(z_2 - z_1)}}$$
 (2.70)

この表式は CHEW の教科書と一致する。

3 三層膜構造における Dyadic Green 関数 (縦)

マクスウェルの縦電場を考える場合、(1.1) – (1.4) において、 ${m E} o {m E}_{
m L}$ とすると縦場条件 $\nabla imes {m E}_{
m L} = 0$ から

$$\nabla \times \boldsymbol{H}(\boldsymbol{r},t) = \frac{\partial}{\partial t} \boldsymbol{D}(\boldsymbol{r},t) \tag{3.1}$$

$$\nabla \cdot \boldsymbol{D}(\boldsymbol{r}, t) = 0 \tag{3.2}$$

$$D(r,t) = \varepsilon_0 E_{L}(r,t) + P(r,t)$$
(3.3)

となり、これが縦場のマクスウェル方程式である。

3.1 TE モードの Green 関数 (縦) の導出

まず、縦電場に関する波動方程式を立ててみよう。(3.2)の両辺に ▽ をかけると

$$\nabla\nabla \left(\varepsilon_{0}\boldsymbol{E}_{L}(\boldsymbol{r},\omega)+\boldsymbol{P}(\boldsymbol{r},\omega)\right)=\boldsymbol{0}$$

$$\nabla\nabla \left(\varepsilon_{0}\left(1+\chi_{m}\right)\boldsymbol{E}_{L}(\boldsymbol{r},\omega)+\boldsymbol{P}_{\mathrm{res}}(\boldsymbol{r},\omega)\right)=\boldsymbol{0}$$

$$\nabla\nabla\boldsymbol{E}_{L}=-\frac{1}{\varepsilon_{i}}\nabla\nabla\boldsymbol{P}_{\mathrm{res}}(\boldsymbol{r},\omega)$$

$$\left[\nabla^{2}\bar{\mathbb{I}}_{3}+\left(\nabla\times\nabla\times\right)\right]\boldsymbol{E}_{L}(\boldsymbol{r},\omega)=-\frac{1}{\varepsilon_{i}}\nabla\nabla\boldsymbol{P}_{\mathrm{res}}(\boldsymbol{r},\omega)$$

$$\nabla^{2}\boldsymbol{E}_{L}(\boldsymbol{r},\omega)=-\frac{1}{\varepsilon_{i}}\nabla\nabla\boldsymbol{P}_{\mathrm{res}}(\boldsymbol{r},\omega)$$

$$(3.4)$$

となり、E, P を面内座標に関するフーリエ変換を行うと、

$$\frac{1}{(2\pi)^{2}} \int d\mathbf{k}_{\parallel} \left[\nabla^{2} \right] \mathbf{E}_{L}(\mathbf{k}_{\parallel}, z, \omega) e^{i\mathbf{k}_{\parallel} \cdot \boldsymbol{\rho}} = -\frac{1}{\varepsilon_{i}} \frac{1}{(2\pi)^{2}} \int d\mathbf{k}_{\parallel} \nabla \nabla \mathbf{P}_{\text{res}}(\mathbf{k}_{\parallel}, z, \omega) e^{i\mathbf{k}_{\parallel} \cdot \boldsymbol{\rho}} \\
\left[\frac{\partial^{2}}{\partial z^{2}} - k_{\parallel}^{2} \right] \mathbf{E}_{L}(\mathbf{k}_{\parallel}, z, \omega) = -\frac{1}{\varepsilon_{i}} \nabla_{\mathbf{k}_{\parallel}} \nabla_{\mathbf{k}_{\parallel}} \mathbf{P}_{\text{res}}(\mathbf{k}_{\parallel}, z, \omega) \tag{3.5}$$

となる。

$$\nabla_{\mathbf{k}_{\parallel}} \nabla_{\mathbf{k}_{\parallel}} = \begin{pmatrix} -k_{\parallel}^2 & 0 & ik_{\parallel} \frac{\partial}{\partial z} \\ 0 & 0 & 0 \\ ik_{\parallel} \frac{\partial}{\partial z} & 0 & \frac{\partial^2}{\partial z^2} \end{pmatrix}$$
(3.6)

と書かれ、面内方向の対称性から、 $k_x=k_\parallel, k_y=0$ としている点に注意してもらいたい。

(2.12) を電場の y 成分 (**TE モード**) に関してのみ考えると

$$\boldsymbol{E}_{\mathrm{L},\mathrm{b}}^{(TE)}(\boldsymbol{k}_{\parallel},z,\omega) = \boldsymbol{E}_{\mathrm{L},\mathrm{b}}^{(TE)}(\boldsymbol{k}_{\parallel},z,\omega) \tag{3.7}$$

となる。 $m{E}_{ ext{L,b}}^{(TE)}$ は次式

$$\left[\frac{\partial^2}{\partial z^2} - k_{\parallel}^2\right] \mathbf{E}_{\mathrm{L,b}}^{(TE)}(\mathbf{k}_{\parallel}, z, \omega) = 0$$
(3.8)

をみたす斉次解であり、誘起場は存在しない。従って誘起場の TE モードは縦成分を持たないという当たり前の結果が出てくる。

3.2 TM モードの Green 関数 (縦) の導出

次に、磁場に関する波動方程式を立てよう。(3.1)より、

$$\nabla \times \nabla \times \boldsymbol{H}(\boldsymbol{r},t) = \frac{\partial}{\partial t} \nabla \times \boldsymbol{D}(\boldsymbol{r},t)$$

$$\nabla \times \nabla \times \boldsymbol{H}(\boldsymbol{r},t) = \frac{\partial}{\partial t} \nabla \times \left\{ \varepsilon_0 \boldsymbol{E}_{L}(\boldsymbol{r},t) + \boldsymbol{P}(\boldsymbol{r},t) \right\}$$

$$\nabla \times \nabla \times \boldsymbol{H}(\boldsymbol{r},t) = \frac{\partial}{\partial t} \nabla \times \left\{ \varepsilon_0 \left(1 + \chi_i \right) \boldsymbol{E}_{L}(\boldsymbol{r},t) + \boldsymbol{P}_{res}(\boldsymbol{r},t) \right\}$$

$$\nabla \times \nabla \times \boldsymbol{H}(\boldsymbol{r},t) = \frac{\partial}{\partial t} \left\{ \nabla \times \boldsymbol{P}_{res}(\boldsymbol{r},t) \right\}$$

$$(\nabla \times \nabla \times) \boldsymbol{H}(\boldsymbol{r},t) = \frac{\partial}{\partial t} \nabla \times \boldsymbol{P}_{res}(\boldsymbol{r},t)$$

$$(3.9)$$

時間に関してフーリエ変換し、整理すると

$$(\nabla \times \nabla \times) \mathbf{H}(\mathbf{r}, \omega) = -i\omega \nabla \times \mathbf{P}_{res}(\mathbf{r}, \omega)$$
$$(\nabla \nabla - \nabla^2) \mathbf{H}(\mathbf{r}, \omega) = -i\omega \nabla \times \mathbf{P}_{res}(\mathbf{r}, \omega)$$
$$\nabla^2 \mathbf{H}(\mathbf{r}, \omega) = i\omega \nabla \times \mathbf{P}_{res}(\mathbf{r}, \omega)$$
(3.10)

となる。H, P を面内座標に関するフーリエ変換を行うと、

$$\frac{1}{(2\pi)^{2}} \int d\mathbf{k}_{\parallel} \left[\nabla^{2} \right] \mathbf{H}(\mathbf{k}_{\parallel}, z, \omega) e^{i\mathbf{k}_{\parallel} \cdot \mathbf{\rho}} = \frac{i\omega}{(2\pi)^{2}} \int d\mathbf{k}_{\parallel} \nabla \times \mathbf{P}_{res}(\mathbf{k}_{\parallel}, z, \omega) e^{i\mathbf{k}_{\parallel} \cdot \mathbf{\rho}} \\
\left[\frac{\partial^{2}}{\partial z^{2}} - k_{\parallel}^{2} \right] \mathbf{H}(\mathbf{k}_{\parallel}, z, \omega) = i\omega \nabla_{\mathbf{k}_{\parallel}} \times \mathbf{P}_{res}(\mathbf{k}_{\parallel}, z, \omega) \tag{3.11}$$

ただし、
$$\nabla_{\boldsymbol{k}_{\parallel}} = \begin{pmatrix} ik_{\parallel} \\ 0 \\ \frac{\partial}{\partial z} \end{pmatrix}$$
 である。 (3.11) を磁場の y 成分 $(\mathbf{TM} \ \mathbf{t} - \mathbf{F})$ に関してのみ考え

ると

$$\boldsymbol{H}^{(TM)}(\boldsymbol{k}_{\parallel}, z, \omega) = \begin{pmatrix} 0 \\ H_{L,b}^{(TM)}(\boldsymbol{k}_{\parallel}, z, \omega) - i\omega \int dz' G_{L}(\boldsymbol{k}_{\parallel}, z, z', \omega) \left\{ \nabla'_{\boldsymbol{k}_{\parallel}} \times \boldsymbol{P}_{res}(\boldsymbol{k}_{\parallel}, z', \omega) \right\}_{y} \\ 0 \end{pmatrix}$$
(3.12)

この斉次解 $H_{L,b}^{(TM)}$ は、以下の式を満たす電場を表し、

$$\left[\frac{\partial^2}{\partial z^2} - k_{\parallel}^2\right] H_{L,b}^{(TM)}(\mathbf{k}_{\parallel}, z, \omega) = 0 \tag{3.13}$$

この Green 関数 $G_{\mathrm{L}}(\mathbf{\textit{k}}_{\parallel},z,z',\omega)$ は以下の式を満たすものとして定義されている

$$\left[\frac{\partial^2}{\partial z^2} - k_{\parallel}^2\right] G_{\mathcal{L}}(\mathbf{k}_{\parallel}, z, z', \omega) = -\delta(z - z')$$
(3.14)

ので、

$$\boldsymbol{H}^{(TM)}(\boldsymbol{k}_{\parallel}, z, \omega) = \begin{pmatrix} 0 \\ H_{L,b}^{(TM)}(\boldsymbol{k}_{\parallel}, z, \omega) - i\omega \int dz' \frac{1}{2k_{\parallel}} e^{-k_{\parallel}|z-z'|} \left\{ \nabla'_{\boldsymbol{k}_{\parallel}} \times \boldsymbol{P}_{res}(\boldsymbol{k}_{\parallel}, z', \omega) \right\}_{y} \\ 0 \end{pmatrix}$$
(3.15)

と求められる。界面の効果 (鏡像効果?) を考えると、マクスウェルの境界条件から求まる $G_{\mathrm{L,nm}}^{(TM)}(m{k}_{\parallel},z,z')$ (後述) を用いて

$$\boldsymbol{H}^{(TM)}(\boldsymbol{k}_{\parallel}, z, \omega) = \begin{pmatrix} 0 \\ H_{L,b}^{(TM)}(\boldsymbol{k}_{\parallel}, z, \omega) - i\omega \int dz' G_{L,nm}^{(TM)}(\boldsymbol{k}_{\parallel}, z, z') \left\{ \nabla'_{\boldsymbol{k}_{\parallel}} \times \boldsymbol{P}_{res}(\boldsymbol{k}_{\parallel}, z', \omega) \right\}_{y} \end{pmatrix}$$

$$(3.16)$$

と書ける。

さらに、(2.43) の両辺に $\frac{e^{i k_{\parallel} \cdot \rho}}{(2\pi)^2}$ をかけて 2 次元波数空間で積分すると、

$$\begin{split} &\boldsymbol{H}^{(TM)}(\boldsymbol{\rho},z,\omega) \\ &= \begin{pmatrix} H_{L,b}^{(TM)}(\boldsymbol{k}_{\parallel},z,\omega) + \frac{-i\omega}{(2\pi)^{2}} \iint d^{2}\boldsymbol{k}_{\parallel} \int dz' G_{L,\mathrm{nm}}^{(TM)}(\boldsymbol{k}_{\parallel},z,z') e^{i\boldsymbol{k}_{\parallel}\cdot\boldsymbol{\rho}} \left\{ \nabla'_{\boldsymbol{k}_{\parallel}} \times \boldsymbol{P}_{\mathrm{res}}(\boldsymbol{k}_{\parallel},z',\omega) \right\}_{y} \\ &= \begin{pmatrix} H_{L,b}^{(TM)}(\boldsymbol{k}_{\parallel},z,\omega) + \frac{-i\omega}{(2\pi)^{2}} \int d\boldsymbol{r}' \iint d^{2}\boldsymbol{k}_{\parallel} G_{L,\mathrm{nm}}^{(TM)}(\boldsymbol{k}_{\parallel},z,z') e^{i\boldsymbol{k}_{\parallel}\cdot(\boldsymbol{\rho}-\boldsymbol{\rho}')} \left\{ \nabla'_{\boldsymbol{k}_{\parallel}} \times \boldsymbol{P}_{\mathrm{res}}(\boldsymbol{\rho}',z',\omega) \right\}_{y} \\ &= \begin{pmatrix} 0 \\ H_{L,b}^{(TM)}(\boldsymbol{k}_{\parallel},z,\omega) \end{pmatrix} + \begin{pmatrix} 0 \\ \frac{-i\omega}{(2\pi)^{2}} \int d\boldsymbol{r}' \iint d^{2}\boldsymbol{k}_{\parallel} G_{L,\mathrm{nm}}^{(TM)}(\boldsymbol{k}_{\parallel},z,z') e^{i\boldsymbol{k}_{\parallel}\cdot(\boldsymbol{\rho}-\boldsymbol{\rho}')} \begin{pmatrix} \frac{\partial}{\partial z'} \\ 0 \\ -i\boldsymbol{k}_{\parallel} \end{pmatrix} \cdot \boldsymbol{P}_{\mathrm{res}}(\boldsymbol{\rho}',z',\omega) \\ &= \begin{pmatrix} 0 \\ H_{L,b}^{(TM)}(\boldsymbol{r},\omega) + \begin{pmatrix} \frac{-i\omega}{(2\pi)^{2}} \int d\boldsymbol{r}' \iint d^{2}\boldsymbol{k}_{\parallel} \begin{pmatrix} -\frac{\partial}{\partial z'} \\ 0 \\ -i\boldsymbol{k}_{\parallel} \end{pmatrix} G_{L,\mathrm{nm}}^{(TM)}(\boldsymbol{k}_{\parallel},z,z') e^{i\boldsymbol{k}_{\parallel}\cdot(\boldsymbol{\rho}-\boldsymbol{\rho}')} \cdot \boldsymbol{P}_{\mathrm{res}}(\boldsymbol{\rho}',z',\omega) \\ &0 \end{pmatrix} \\ &= \begin{pmatrix} 0 \\ 0 \\ -i\boldsymbol{k}_{\parallel} \end{pmatrix} G_{L,\mathrm{nm}}^{(TM)}(\boldsymbol{k}_{\parallel},z,z') e^{i\boldsymbol{k}_{\parallel}\cdot(\boldsymbol{\rho}-\boldsymbol{\rho}')} & \boldsymbol{P}_{\mathrm{res}}(\boldsymbol{\rho}',z',\omega) \\ &0 \end{pmatrix} \\ &= \begin{pmatrix} 0 \\ 0 \\ -i\boldsymbol{k}_{\parallel} \end{pmatrix} G_{L,\mathrm{nm}}^{(TM)}(\boldsymbol{k}_{\parallel},z,z') e^{i\boldsymbol{k}_{\parallel}\cdot(\boldsymbol{\rho}-\boldsymbol{\rho}')} & \boldsymbol{P}_{\mathrm{res}}(\boldsymbol{\rho}',z',\omega) \\ &0 \end{pmatrix} \\ &= \begin{pmatrix} 0 \\ 0 \\ -i\boldsymbol{k}_{\parallel} \end{pmatrix} G_{L,\mathrm{nm}}^{(TM)}(\boldsymbol{k}_{\parallel},z,z') e^{i\boldsymbol{k}_{\parallel}\cdot(\boldsymbol{\rho}-\boldsymbol{\rho}')} & \boldsymbol{P}_{\mathrm{res}}(\boldsymbol{\rho}',z',\omega) \\ &0 \end{pmatrix} \\ &= \begin{pmatrix} 0 \\ 0 \\ -i\boldsymbol{k}_{\parallel} \end{pmatrix} G_{L,\mathrm{nm}}^{(TM)}(\boldsymbol{k}_{\parallel},z,z') e^{i\boldsymbol{k}_{\parallel}\cdot(\boldsymbol{\rho}-\boldsymbol{\rho}')} & \boldsymbol{P}_{\mathrm{res}}(\boldsymbol{\rho}',z',\omega) \\ &0 \end{pmatrix} \\ &= \begin{pmatrix} 0 \\ 0 \\ -i\boldsymbol{k}_{\parallel} \end{pmatrix} G_{L,\mathrm{nm}}^{(TM)}(\boldsymbol{k}_{\parallel},z,z') e^{i\boldsymbol{k}_{\parallel}\cdot(\boldsymbol{\rho}-\boldsymbol{\rho}')} & \boldsymbol{P}_{\mathrm{res}}(\boldsymbol{\rho}',z',\omega) \\ &0 \end{pmatrix} \\ &= \begin{pmatrix} 0 \\ 0 \\ -i\boldsymbol{k}_{\parallel} \end{pmatrix} G_{L,\mathrm{nm}}^{(TM)}(\boldsymbol{k}_{\parallel},z,z') e^{i\boldsymbol{k}_{\parallel}\cdot(\boldsymbol{\rho}-\boldsymbol{\rho}')} & \boldsymbol{P}_{\mathrm{res}}(\boldsymbol{\rho}',z',\omega) \\ &0 \end{pmatrix} \\ &= \begin{pmatrix} 0 \\ 0 \\ 0 \\ -i\boldsymbol{k}_{\parallel} \end{pmatrix} G_{L,\mathrm{nm}}^{(TM)}(\boldsymbol{k}_{\parallel},z,z') e^{i\boldsymbol{k}_{\parallel}\cdot(\boldsymbol{\rho}-\boldsymbol{\rho}')} & \boldsymbol{P}_{\mathrm{res}}(\boldsymbol{\rho}',z',\omega) \\ &0 \end{pmatrix} \\ &= \begin{pmatrix} 0 \\ 0 \\ 0 \\ -i\boldsymbol{k}_{\parallel} \end{pmatrix} G_{L,\mathrm{nm}}^{(TM)}(\boldsymbol{k}_{\parallel},z,z') e^{i\boldsymbol{k}_{\parallel}\cdot(\boldsymbol{\rho}-\boldsymbol{\rho}')} & \boldsymbol{P}_{\mathrm{res}}(\boldsymbol{\rho}',z',\omega) \end{pmatrix} \\ &= \begin{pmatrix} 0 \\ 0 \\ 0 \\ 0 \end{pmatrix} G_{L,\mathrm{nm}}^{(TM)}(\boldsymbol{k}_{\parallel},z,z') e^{i\boldsymbol{k}_{\parallel}\cdot(\boldsymbol{\rho}-\boldsymbol{\rho}')} & \boldsymbol{P}_{\mathrm{res}}(\boldsymbol{\rho}',z',\omega) \end{pmatrix} \\ &= \begin{pmatrix} 0 \\ 0 \\ 0 \\ 0 \end{pmatrix} G_{L,\mathrm{nm}}^{(TM)}(\boldsymbol{k}_{\parallel},z,z') e^{i\boldsymbol{k}_{\parallel}\cdot(\boldsymbol{\rho}-\boldsymbol{\rho}')} & \boldsymbol{P}_{\mathrm{res}}(\boldsymbol{\rho}',z',\omega$$

ここで、

$$\nabla \times \boldsymbol{H}^{(TM)}(\boldsymbol{r},\omega) = -i\omega \left\{ \varepsilon_i \boldsymbol{E}_L^{(TM)}(\boldsymbol{r},\omega) + \boldsymbol{P}_{res}(\boldsymbol{r},\omega) \right\}$$
(3.18)

$$\nabla \times \boldsymbol{H}_{L,b}^{(TM)}(\boldsymbol{r},\omega) = -i\omega \left\{ \varepsilon_i \boldsymbol{E}_{L,b}^{(TM)}(\boldsymbol{r},\omega) \right\}$$
(3.19)

であるから、(2.44)の両辺の回転を取ると次のようになる。

$$\begin{split} & \boldsymbol{E}_{L}^{(TM)}(\boldsymbol{r},\omega) = \boldsymbol{E}_{L,b}^{(TM)}(\boldsymbol{r},\omega) \\ & + \frac{1}{\varepsilon_{i}} \int d\boldsymbol{r}' \left[\iint d^{2}\boldsymbol{k}_{\parallel} \frac{e^{i\boldsymbol{k}_{\parallel}\cdot(\boldsymbol{\rho}-\boldsymbol{\rho}')}}{\left(2\pi\right)^{2}} \left\{ \begin{pmatrix} \frac{\partial^{2}}{\partial z\partial z'} & 0 & ik_{\parallel}\frac{\partial}{\partial z} \\ 0 & 0 & 0 \\ -ik_{\parallel}\frac{\partial}{\partial z'} & 0 & k_{\parallel}^{2} \end{pmatrix} G_{L,nm}^{(TM)}(\boldsymbol{k}_{\parallel},z,z') - \begin{pmatrix} 0 & 0 & 0 \\ 0 & 0 & 0 \\ 0 & 0 & 1 \end{pmatrix} \delta(z-z') \right\} \right] \end{split} \tag{3.20}$$

こうして TM モードに対する薄膜の縦場の Green 関数の表式

$$\bar{\mathcal{G}}_{L,\text{mem}}^{(TM)}(\boldsymbol{r},\boldsymbol{r}',\omega) = \iint d^{2}\boldsymbol{k}_{\parallel} \frac{e^{i\boldsymbol{k}_{\parallel}\cdot(\boldsymbol{\rho}-\boldsymbol{\rho}')}}{\left(2\pi\right)^{2}} \left\{ \begin{pmatrix} \frac{\partial^{2}}{\partial z\partial z'} & 0 & ik_{\parallel}\frac{\partial}{\partial z} \\ 0 & 0 & 0 \\ -ik_{\parallel}\frac{\partial}{\partial z'} & 0 & k_{\parallel}^{2} \end{pmatrix} G_{L,nm}^{(TM)}(\boldsymbol{k}_{\parallel},z,z') - \begin{pmatrix} 0 & 0 & 0 \\ 0 & 0 & 0 \\ 0 & 0 & 1 \end{pmatrix} \delta(z-k_{\parallel}) \right\}$$

$$(3.21)$$

を得る。

3.3 三層膜構造における Dyadic Green 関数 (縦); まとめ

以上より、3 層構造における縦場のマクスウェル方程式及び, Dyadic Green 関数は次式で与えられる。

$$\boldsymbol{E}_{L}(\boldsymbol{r},\omega) = \boldsymbol{E}_{L}^{(TM)}(\boldsymbol{r},\omega) \tag{3.22}$$

$$\boldsymbol{E}_{L}^{(TM)}(\boldsymbol{r},\omega) = \boldsymbol{E}_{L,b}^{(TM)}(\boldsymbol{r},\omega) + \frac{1}{\varepsilon_{i}} \int d\boldsymbol{r}' \bar{\mathcal{G}}_{L,\text{mem}}^{(TM)}(\boldsymbol{r},\boldsymbol{r}',\omega) \boldsymbol{P}_{\text{res}}(\boldsymbol{r}',\omega)$$
(3.23)

$$\bar{\mathcal{G}}_{L,\text{mem}}^{(TM)}(\boldsymbol{r},\boldsymbol{r}',\omega) = \iint d^{2}\boldsymbol{k}_{\parallel} \frac{e^{i\boldsymbol{k}_{\parallel}\cdot(\boldsymbol{\rho}-\boldsymbol{\rho}')}}{\left(2\pi\right)^{2}} \left\{ \begin{pmatrix} \frac{\partial^{2}}{\partial z\partial z'} & 0 & ik_{\parallel}\frac{\partial}{\partial z} \\ 0 & 0 & 0 \\ -ik_{\parallel}\frac{\partial}{\partial z'} & 0 & k_{\parallel}^{2} \end{pmatrix} G_{L,nm}^{(TM)}(\boldsymbol{k}_{\parallel},z,z') - \begin{pmatrix} 0 & 0 & 0 \\ 0 & 0 & 0 \\ 0 & 0 & 1 \end{pmatrix} \delta(z-k_{\parallel}) \right\} d^{2}\boldsymbol{k}_{\parallel} d^{2}\boldsymbol{k}_{\parallel}$$

$$G_{L,12}^{(TM)}(\boldsymbol{k}_{\parallel},z,z') = \frac{1}{2k_{\parallel}} \left[t_{L,12}^{(TM)} e^{k_{\parallel} z_{1}} \left[e^{-k_{\parallel} z'} + r_{L,32}^{(TM)} e^{-2k_{\parallel} z_{2}} e^{k_{\parallel} z'} \right] M_{L,2}^{(TM)} e^{k_{\parallel} (z-z_{1})} \right]$$

$$(3.25)$$

$$G_{L,22}^{(TM)}(\boldsymbol{k}_{\parallel},z,z') = \frac{1}{2k_{\parallel}} \left[e^{-k_{\parallel}|z-z'|} + r_{L,12}^{(TM)} \left\{ e^{k_{\parallel}(z_{1}-z')} + r_{L,32}^{(TM)} e^{-k_{\parallel}d_{2}} e^{-k_{\parallel}(z_{2}-z')} \right\} e^{-k_{\parallel}(z-z_{1})} M_{L,2}^{(TM)} + r_{L,32}^{(TM)} \left\{ e^{-k_{\parallel}(z_{2}-z')} + r_{L,12}^{(TM)} e^{-k_{\parallel}d_{2}} e^{k_{\parallel}(z_{1}-z')} \right\} e^{k_{\parallel}(z-z_{2})} M_{L,2}^{(TM)} \right]$$

$$(3.26)$$

$$G_{L,32}^{(TM)}(\boldsymbol{k}_{\parallel},z,z') = \frac{1}{2k_{\parallel}} \left[t_{L,32}^{(TM)} e^{-k_{\parallel} z_{2}} \left[r_{L,12}^{(TM)} e^{2k_{\parallel} z_{1}} e^{-k_{\parallel} z'} + e^{k_{\parallel} z'} \right] M_{L,2}^{(TM)} e^{-k_{\parallel} (z-z_{2})} \right]$$

$$(3.27)$$

$$t_{L,ij}^{(TM)} = \frac{2\varepsilon_i}{\varepsilon_i + \varepsilon_j} \tag{3.28}$$

$$r_{L,ij}^{(TM)} = \frac{\varepsilon_i - \varepsilon_j}{\varepsilon_i + \varepsilon_i} \tag{3.29}$$

$$M_{L,2}^{\xi} = \frac{1}{1 - r_{L,12}^{(TM)} r_{L,32}^{(TM)} e^{2ik_z(z_2 - z_1)}}$$
(3.30)

縦横の Green 関数の $c \to \infty$ によって得られるものを縦場の Green 関数だと思って いる。 *1

^{*1} マクスウェルの境界条件でどう出てくるか、要確認。

4 三層膜構造における Dyadic Green 関数 (横)

3層構造における縦場のマクスウェル方程式及び, Dyadic Green 関数は次式で与えられる。

$$\mathbf{E}_{T}(\mathbf{r},\omega) = \mathbf{E}_{T}^{(TE)}(\mathbf{r},\omega) + \mathbf{E}_{T}^{(TM)}(\mathbf{r},\omega) \tag{4.1}$$

$$\mathbf{E}_{T}^{(TE)}(\mathbf{r},\omega) = \mathbf{E}^{(TE)}(\mathbf{r},\omega) - \mathbf{E}_{L}^{(TE)}(\mathbf{r},\omega)$$

$$= \mathbf{E}_{b}^{(TE)}(\mathbf{r},\omega) - \mathbf{E}_{L,b}^{(TE)}(\mathbf{r},\omega) + \frac{1}{\varepsilon_{i}} \int d\mathbf{r}' \bar{\mathcal{G}}_{\text{mem}}^{(TE)}(\mathbf{r},\mathbf{r}',\omega) \mathbf{P}_{\text{res}}(\mathbf{r}',\omega)$$

$$\mathbf{E}_{T}^{(TM)}(\mathbf{r},\omega) = \mathbf{E}^{(TM)}(\mathbf{r},\omega) - \mathbf{E}_{L}^{(M)}(\mathbf{r},\omega)$$

$$= \mathbf{E}_{b}^{(TM)}(\mathbf{r},\omega) - \mathbf{E}_{L,b}^{(TM)}(\mathbf{r},\omega) + \frac{1}{\varepsilon_{i}} \int d\mathbf{r}' \bar{\mathcal{G}}_{T,\text{mem}}^{(TM)}(\mathbf{r},\mathbf{r}',\omega) \mathbf{P}_{\text{res}}(\mathbf{r}',\omega)$$

$$\bar{\mathcal{G}}_{\text{mem}}^{(TE)}(\boldsymbol{r}, \boldsymbol{r}', \omega) = \iint d^{2}\boldsymbol{k}_{\parallel} \frac{e^{i\boldsymbol{k}_{\parallel}\cdot(\boldsymbol{\rho}-\boldsymbol{\rho}')}}{(2\pi)^{2}} \begin{pmatrix} 0 & 0 & 0 \\ 0 & q_{m}^{2} & 0 \\ 0 & 0 & 0 \end{pmatrix} G_{nm}^{(TE)}(\boldsymbol{k}_{\parallel}, z, z') \tag{4.4}$$

$$\bar{\mathcal{G}}_{T,\text{mem}}^{(TM)}(\boldsymbol{r}, \boldsymbol{r}', \omega) = \iint d^{2}\boldsymbol{k}_{\parallel} \frac{e^{i\boldsymbol{k}_{\parallel}\cdot(\boldsymbol{\rho}-\boldsymbol{\rho}')}}{(2\pi)^{2}} \begin{pmatrix} \frac{\partial^{2}}{\partial z\partial z'} & 0 & ik_{\parallel}\frac{\partial}{\partial z} \\ 0 & 0 & 0 \\ -ik_{\parallel}\frac{\partial}{\partial z'} & 0 & k_{\parallel}^{2} \end{pmatrix} G_{T,nm}^{(TM)}(\boldsymbol{k}_{\parallel}, z, z')$$

(4.3)

(4.5)

$$\begin{split} G_{12}^{(TE)}(\boldsymbol{k}_{\parallel},z,z') = & \frac{i}{2k_{2}} \left[t_{12}^{(TE)} e^{-ik_{2}z_{1}} \left[e^{ik_{2}z'} + r_{32}^{(TE)} e^{2ik_{2}z_{2}} e^{-ik_{2}z'} \right] M_{2}^{(TE)} e^{-ik_{1}(z-z_{1})} \right] \\ G_{22}^{(TE)}(\boldsymbol{k}_{\parallel},z,z') = & \frac{i}{2k_{2}} \left[e^{ik_{2}|z-z'|} + r_{12}^{(TE)} \left\{ e^{-ik_{2}(z_{1}-z')} + r_{32}^{(TE)} e^{ik_{2}d_{2}} e^{ik_{2}(z_{2}-z')} \right\} e^{ik_{2}(z-z_{1})} M_{2}^{(TE)} + r_{32}^{(TE)} \left\{ e^{ik_{2}(z_{2}-z')} + r_{12}^{(TE)} e^{ik_{2}d_{2}} e^{-ik_{2}(z_{1}-z')} \right\} e^{-ik_{2}(z-z_{2})} M_{2}^{(TE)} \right] \end{split}$$

$$G_{32}^{(TE)}(\boldsymbol{k}_{\parallel},z,z') = \frac{i}{2k_2} \left[t_{3,2}^{(TE)} e^{ik_2z_2} \left[r_{12}^{(TE)} e^{-2ik_2z_1} e^{ik_2z'} + e^{-ik_2z'} \right] M_2^{(TE)} e^{ik_3(z-z_2)} \right]$$

$$(4.8)$$

$$\begin{split} G_{T,12}^{(TM)}(\boldsymbol{k}_{\parallel},z,z') &= \frac{i}{2k_{2}} \left[t_{12}^{(TM)} e^{-ik_{2}z_{1}} \left[e^{ik_{2}z'} + r_{32}^{(TM)} e^{2ik_{2}z_{2}} e^{-ik_{2}z'} \right] M_{2}^{(TM)} e^{-ik_{1}(z-z_{1})} \right] \\ &- \frac{1}{2k_{\parallel}} \left[t_{L,12}^{(TM)} e^{k_{\parallel}z_{1}} \left[e^{-k_{\parallel}z'} + r_{L,32}^{(TM)} e^{-2k_{\parallel}z_{2}} e^{k_{\parallel}z'} \right] M_{L,2}^{(TM)} e^{k_{\parallel}(z-z_{1})} \right] \\ &- (4.9) \end{split}$$

$$G_{T,22}^{(TM)}(\boldsymbol{k}_{\parallel},z,z') = \frac{i}{2k_{2}} \left[e^{ik_{2}|z-z'|} + r_{12}^{(TM)} \left\{ e^{-ik_{2}(z_{1}-z')} + r_{32}^{(TM)} e^{ik_{2}d_{2}} e^{ik_{2}(z_{2}-z')} \right\} e^{ik_{2}(z_{2}-z')} M_{2}^{(TM)} \\ &+ r_{32}^{(TM)} \left\{ e^{ik_{2}(z_{2}-z')} + r_{12}^{(TM)} e^{ik_{2}d_{2}} e^{-ik_{2}(z_{1}-z')} \right\} e^{-ik_{2}(z-z_{2})} M_{2}^{(TM)} \right] \\ &- \frac{1}{2k_{\parallel}} \left[e^{-k_{\parallel}|z-z'|} + r_{L,12}^{(TM)} \left\{ e^{k_{\parallel}(z_{1}-z')} + r_{L,32}^{(TM)} e^{-k_{\parallel}d_{2}} e^{-k_{\parallel}(z_{2}-z')} \right\} e^{-k_{\parallel}(z-z_{1})} M_{L,2}^{(TM)} \\ &+ r_{L,32}^{(TM)} \left\{ e^{-k_{\parallel}(z_{2}-z')} + r_{L,12}^{(TM)} e^{-k_{\parallel}d_{2}} e^{k_{\parallel}(z_{1}-z')} \right\} e^{k_{\parallel}(z-z_{2})} M_{L,2}^{(TM)} \right] \\ &- \frac{i}{2k_{\parallel}} \left[t_{3,2}^{(TM)} e^{ik_{2}z_{2}} \left[r_{12}^{(TM)} e^{-2ik_{2}z_{1}} e^{ik_{2}z'} + e^{-ik_{2}z'} \right] M_{L,2}^{(TM)} e^{ik_{3}(z-z_{2})} \right] \\ &- \frac{1}{2k_{\parallel}} \left[t_{L,32}^{(TM)} e^{-k_{\parallel}z_{2}} \left[r_{L,12}^{(TM)} e^{2k_{\parallel}z_{1}} e^{-k_{\parallel}z'} + e^{k_{\parallel}z'} \right] M_{L,2}^{(TM)} e^{-k_{\parallel}(z-z_{2})} \right] \end{aligned}$$